

## บทที่ 4

### ผลการวิจัย

จากบทที่ 3 เราได้ใช้วิธีซิงกุลาร์เพอร์เทอร์เบชันกับระบบสมการ (4)-(6) ดังนี้  
เราจะปรับมาตราส่วนพลวัตของส่วนประกอบ 3 ส่วนของระบบ เมื่อพารามิเตอร์  $\varepsilon$   
และ  $\delta$  มีค่าเป็นบวกน้อย ๆ และให้พารามิเตอร์ใหม่ ดังนี้

$$\text{ให้ } x = V, y = C, z = B, a_1 = c_1, a_2 = \frac{c_2}{\varepsilon}, a_3 = \frac{c_3}{\varepsilon}, a_4 = \frac{c_4}{\varepsilon\delta}, a_5 = \frac{c_5}{\varepsilon\delta},$$

$d_1 = g_1, d_2 = \frac{g_2}{\varepsilon}, d_3 = \frac{g_3}{\varepsilon\delta}$  จะได้ระบบสมการใหม่ ดังนี้

$$\frac{dx}{dt} = \frac{a_1}{k_1 + y} - d_1 x \equiv F(x, y, z) \quad (21)$$

$$\frac{dy}{dt} = \varepsilon \left[ \frac{(a_2 + a_3 x)yz}{k_2 + x^2} - d_2 y \right] \equiv \varepsilon G(x, y, z) \quad (22)$$

$$\frac{dz}{dt} = \varepsilon\delta \left[ a_4 + \frac{a_5 xz}{k_3 + x} - d_3 z \right] \equiv \varepsilon\delta H(x, y, z) \quad (23)$$

ซึ่งหมายความว่า การเปลี่ยนแปลงค่าน้ำมือของสมการ (21)-(23) มีค่าจำกัด และไม่เป็นศูนย์ แล้ว  $\dot{x} = O(1), \dot{y} = O(\varepsilon)$  และ  $\dot{z} = O(\varepsilon\delta)$  หมายความว่า ถ้า  $\varepsilon$  และ  $\delta$  มีค่าน้อย ๆ แล้ววิตามินคีมีพลวัตเร็วกว่าเชลล์สถาบัณฑุก ในขณะที่เชลล์สร้างกระดูกมีพลวัตช้าที่สุด เพื่อความเข้าใจที่ดีขึ้น เราจะวิเคราะห์ manifold  $\{F=0\}, \{G=0\}$  และ  $\{H=0\}$  ในแต่ละ manifold ได้ดังต่อไปนี้

#### การวิเคราะห์ manifold

พิจารณา manifold  $\{F = 0\}$

manifold นี้ถูกกำหนดโดยสมการ

$$\frac{a_1}{k_1 + y} - d_1 x = 0 \quad (24)$$

จะได้

$$x = \frac{a_1}{d_1(k_1 + y)} \equiv A(y) \quad (25)$$

เราจะเห็นได้ว่า manifold นี้เป็นอิสระจากตัวแปร  $z$  ดังนั้นสมการ (25) ขานานแกน  $z$  และตัวคงนาบ  $xz$  ตามเส้นตรง

$$x = \frac{a_1}{d_1 k_1} \equiv x_1 \quad (26)$$

$$\lim_{y \rightarrow \infty} A(y) = \lim_{y \rightarrow \infty} \left( \frac{a_1}{d_1 (k_1 + y)} \right) = 0 \quad (27)$$

นั่นคือ  $A(y) \rightarrow 0$  เมื่อ  $y \rightarrow \infty$  ดังนั้น  $A(y)$  เป็นฟังก์ชันลด และจะได้ว่า  $A(y)$  เสถียรเชิงเส้นกำกับ

พิจารณา manifold  $\{G = 0\}$

manifold นี้ถูกกำหนดโดยสมการ

$$\frac{(a_2 + a_3 x)yz}{k_2 + x^2} - d_2 y = 0 \quad (28)$$

จะได้

$$y \left\{ \frac{(a_2 + a_3 x)z}{k_2 + x^2} - d_2 \right\} = 0 \quad (29)$$

จากสมการ (29) เราจะเห็นว่า manifold นี้เกิดจาก 2 manifold ย่อย คือ 1. trivial manifold  $y = 0$  และ 2. nontrivial manifold ที่กำหนดโดยสมการ

$$\frac{(a_2 + a_3 x)z}{k_2 + x^2} - d_2 = 0 \quad (30)$$

นั่นคือ

$$z = \frac{d_2(k_2 + x^2)}{(a_2 + a_3 x)} \equiv B(x) \quad (31)$$

เราจะเห็นได้ว่า nontrivial manifold  $z = B(x)$  เป็นอิสระจากตัวแปร  $y$  ดังนั้นสมการ (31) ขยายแกน  $y$  บนระนาบ  $xz$  เส้นใด้  $z = B(x)$  มีสมการเส้นกำกับเป็นเส้นตรง

$$x = -\frac{a_2}{a_3} \quad (32)$$

และตัดระนาบ  $yz$  ที่จุด  $x = 0$  จะได้

$$z = \frac{d_2 k_2}{a_2} \equiv z_1 \quad (33)$$

เนื่องจาก  $B'(x) = \frac{a_3 d_2 x^2 + 2a_2 d_2 x - a_3 d_2 k_2}{(a_2 + a_3 x)^2}$ ,  $B'(x) = 0$  ที่จุด

$$x = -\frac{a_2}{a_3} + \sqrt{\left( \frac{a_2}{a_3} \right)^2 + k_2} \equiv x_m \quad (34)$$

โดยที่  $x_m$  เป็นจุดต่ำที่สุดใน manifold  $\{G=0\}$  ในอัจฉริภาพที่ 1 เราจะได้ว่า  $x_m$  มีค่าเป็นบวก เมื่อพารามิเตอร์ทั้งหมดมีค่าเป็นบวก นอกจากนี้

$$B''(x_m) = \frac{2d_2(a_2^2 + a_3^2 k_2)}{a_1(a_2 + a_3 x_m)^3} \quad (35)$$

และ  $x_m > 0$  แล้ว  $B''(x_m) > 0$  ดังนั้น  $z = B(x)$  ได้มาจากการค่าน้อยที่สุดตามเส้นตรง

$$\{x = x_m, z = B(x_m) \equiv z_m\} \quad (36)$$

ซึ่งบานานกับแกน  $y$  ในอัจฉริภาพที่ 1

Manifold ในสมการ (24) ตัด manifold ในสมการ (28) ตามเส้นโถง  $\{F = G = 0\}$  ซึ่งสามารถแยกออกเป็น 2 ส่วน ส่วนแรกเป็นจุดต่ำที่ตัด manifold  $\{F = 0\}$  และ trivial manifold  $y = 0$  ของ  $\{G = 0\}$  ซึ่งถูกกำหนดโดยเส้นตรง  $x = x_1$  บนระนาบ  $xz$  อีกส่วนหนึ่งเป็นจุดต่ำที่ตัดของ manifold  $\{F = 0\}$  และ nontrivial manifold  $z = V(x)$  ของ manifold  $\{G = 0\}$  ซึ่งถูกกำหนดโดยเส้นโถง

$$\{x = A(y), z = B(x)\} \quad (37)$$

เราได้ว่า

$$z = B(A(y))$$

เนื่องจาก  $z = B(x)$  มีจุดต่ำสุดที่  $x = x_m$  และ  $z = z_m$

เส้นโถง  $\{x = A(y), z = B(x)\}$  ได้มาจากการจุดต่ำสุดที่จุด  $N(x_m, y_m, z_m)$  เมื่อ

$$y_m = \frac{a_1}{d_1 x_m} - k_1 \quad (38)$$

เราสังเกตได้ว่าเส้นโถงตัดระนาบ  $xz$  ที่จุด  $U$  เมื่อ  $y = 0, x = U(0) = x_1$  และ

$$z = \frac{d_2(k_2 + x_1^2)}{a_2 + a_3 x_1} \equiv z_2 \quad (39)$$

พิจารณา manifold  $\{H = 0\}$

manifold นี้ถูกกำหนดโดยสมการ

$$a_4 + \frac{a_5 x z}{k_3 + x} - d_3 z = 0 \quad (40)$$

จะได้

$$z = \frac{a_4(k_3 + x)}{(d_3 - a_5)x + d_3 k_3} \equiv C(x) \quad (41)$$

ซึ่งสมการ (41) เป็นอิสระจากตัวแปร  $y$  คั่งนั้น manifold นี้ขึ้นนานแก่น  $y$  และตัดระนาบ  $yz$  ตามเส้นตรง

$$z = \frac{a_4}{d_3} \equiv z_3 \quad (42)$$

และตัดระนาบ  $xz$  ตามเส้นโค้งซึ่งมีเส้นกำกับเป็น

$$x = \frac{d_3 k_3}{a_5 - d_3} \equiv x_2 \quad (43)$$

เราได้ว่า  $x_2 > 0$  ก็ต่อเมื่อ

$$d_3 < a_5 \quad (44)$$

การตัดกันของ manifold  $\{H = 0\}$  และ  $\{G = 0\}$  สามารถแยกออกเป็น 2 ส่วน คือ

1. manifold  $\{H = 0\}$  ตัด trivial manifold  $y = 0$  ของ manifold  $\{G = 0\}$  ตามเส้นโค้ง

$z = C(x)$  บนระนาบ  $xy$  ตามเส้นโค้ง

$$z = \frac{d_2(k_2 + x^2)}{a_2 + a_3 x}$$

และ 2. manifold  $\{H = 0\}$  ตัด nontrivial manifold ของ manifold  $\{G = 0\}$  ตามเส้นตรง

$$\left\{ x = x_3, z = \frac{a_4(k_3 + x_3)}{(d_3 - a_5)x_3 + d_3 k_3} \equiv z_4 \right\}$$

ซึ่งนานแก่น  $y$  และ  $x_3$  เป็นผลเฉลยที่เป็นจำนวนจริงของ

$$(d_3 d_2 - a_5 d_2)x^3 + (d_2 d_3 k_3 - a_3 a_4)x^2 + (d_2 d_3 k_2 - a_5 d_2 k_2 - a_3 a_4 k_3 - a_2 a_4)x + (d_2 d_3 k_2 k_3 - a_2 a_4 k_3) = 0 \quad (45)$$

กำหนดให้

$$\alpha \equiv d_3 d_2 - a_5 d_2$$

$$\beta \equiv d_2 d_3 k_3 - a_3 a_4$$

$$\gamma \equiv d_2 d_3 k_2 - a_5 d_2 k_2 - a_3 a_4 k_3 - a_2 a_4$$

$$\omega \equiv d_2 d_3 k_2 k_3 - a_2 a_4 k_3$$

สมการ (45) สามารถนำมาเขียนใหม่ได้เป็น

$$\alpha x^3 + \beta x^2 + \gamma x + \omega = 0 \quad (46)$$

$x_3$  จะมีค่าเกิดขึ้นในอัจฉริยะที่เป็นบวกและสองครึ่งกับเงื่อนไข

$$\frac{a_2 a_4}{k_2} < d_2 d_3 < \frac{a_3 a_4}{k_3} \quad (47)$$

เมื่อพารามิเตอร์ทั้งหมดมีค่าเป็นบวก

ในทางตรงกันข้าม manifold  $\{H = 0\}$  ตัดระนาบ  $xz$  ตามเส้นโค้ง  $z = C(x)$  ซึ่งตัดเส้นตรง  $x = x_1$  ที่จุด  $S_1(x_1, 0, z_5)$  เมื่อ

$$z_5 = \frac{a_4(x_1 + k_3)}{(d_3 - a_5)x_1 + d_3k_3} \quad (48)$$

เส้นโค้ง  $\{F = G = 0\}$  ตัดเส้นโค้ง  $\{G = H = 0\}$  ที่จุด  $S_2(x_3, y_1, z_5)$  เมื่อ

$$y_1 = \frac{a_1}{d_1x_3} - k_1 \quad (49)$$

ต่อมาเราจะได้รูปกราฟทั้ง 3 รูปของสมการแบบจำลองเชิงคณิตศาสตร์ มาวิเคราะห์ผลต่าง ๆ ที่จะเกิดขึ้น ในแต่ละกรณี ซึ่งแบ่งได้เป็น 2 กรณี ดังต่อไปนี้

### ทฤษฎีบทที่ 2 ถ้า $\varepsilon$ และ $\delta$ มีค่าน้อย ๆ และสมการ (44) และ (47) เป็นจริง และ

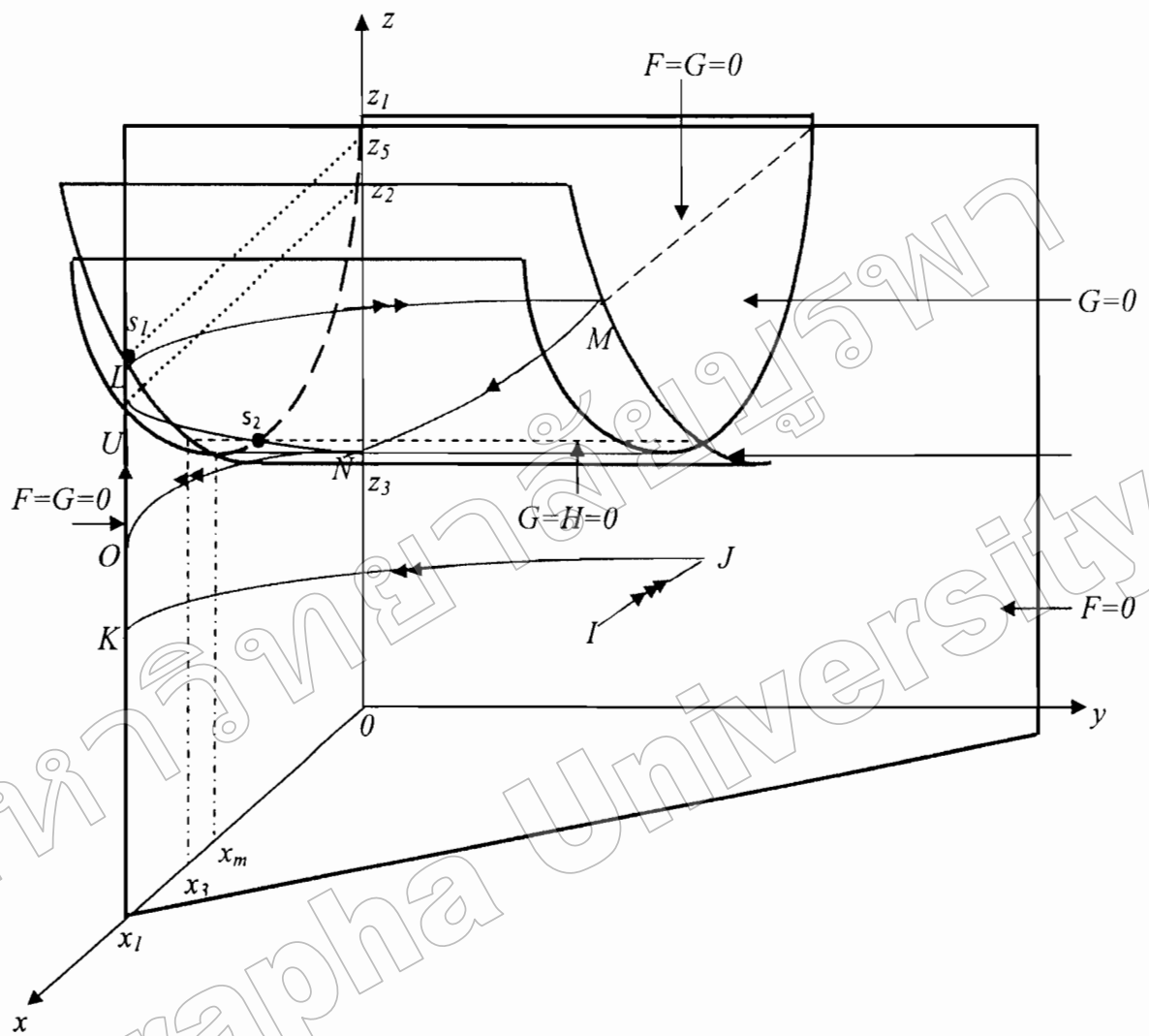
$$x_m < x_3 < x_1 \quad (50)$$

$$\text{และ } z_3 < z_m < z_2 < z_5 < z_1 \quad (51)$$

เมื่อพารามิเตอร์ทั้งหมดมีค่าตามที่ได้กำหนดไว้แล้วข้างต้น แล้ว manifold แสดงดังภาพที่ 2 และระบบสมการ (21)-(23) จะมีผลเฉลยเป็นแบบวัฏจักร การเปลี่ยนแปลงในระดับที่ช้า ปานกลาง และเร็ว แสดงโดยลูกศร 1 หัว 2 หัว และ 3 หัว ตามลำดับ

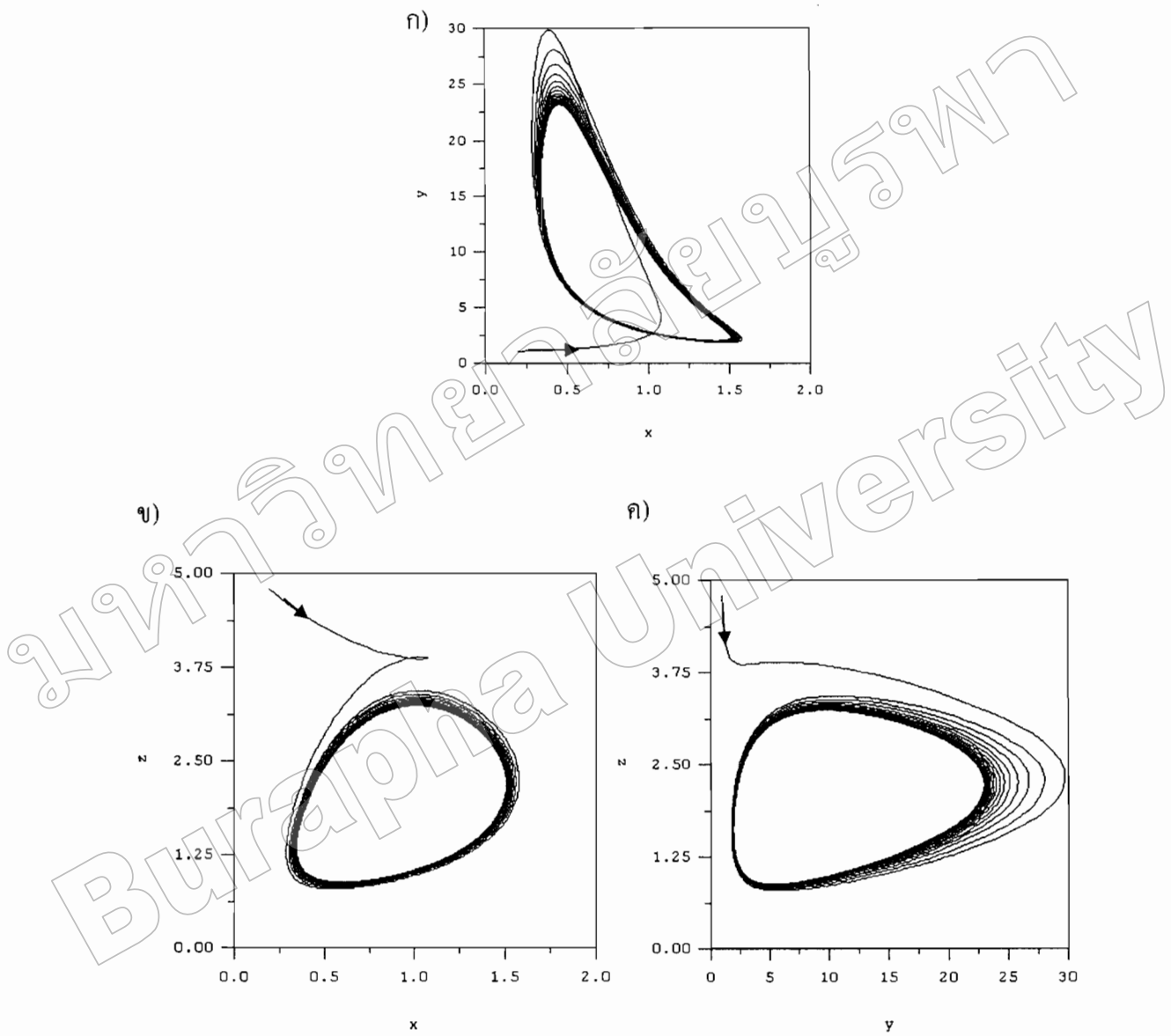
ในภาพที่ 2 ภายใต้เงื่อนไขของทฤษฎีบทที่ 2 เริ่มต้นที่จุด I โดยสมมติให้ดำเนินการตามที่จุด  $I = (x_0, y_0, z_0)$  ในภาพที่ 2 เป็น  $\{F \neq 0\}$  การเปลี่ยนแปลงในระดับที่เร็วนำมายังเส้นโคจรผลลัพธ์ที่จุด J บน manifold  $\{F=0\}$  ที่  $\{G < 0\}$  และการเปลี่ยนแปลงในระดับปานกลางจะเกิดเมื่อคลื่นกระแทกเข้าสู่จุด K บนเส้นโค้ง  $\{F=G=0\}$  การเปลี่ยนแปลงในระดับที่ช้าเกิดตามเส้นโค้งที่จุด L จนเมื่อความเสถียรของ manifold ย่อยหายไป การกระโดดไปยังจุด M

บนส่วนการเสถียรอื่นของ  $\{F=G=0\}$  เป็นการเปลี่ยนแปลงในระดับที่ช้า ในดำเนินการที่  $z$  ลดลงจนเข้าสู่จุด N เมื่อจาก  $\{H < 0\}$  เมื่อไปถึงจุด N ความเสถียรของ manifold ย่อยหายไป เกิดการกระโดดของจุด O บนส่วนของการเสถียรอื่นของ  $\{F=G=0\}$  เป็นการเปลี่ยนแปลงในระดับที่ช้าในดำเนินการที่  $z$  เพิ่มขึ้นเมื่อจาก  $\{H > 0\}$  ด้วยเหตุนี้ การเปลี่ยนแปลงในระดับที่ช้าจะนำมายังระบบที่ขอนกลับไปที่จุด L ไปตามทิศทางเดิมช้าไปเรื่อย ๆ เกิดผลเป็นวงโคจรปิด LMNOL ดังนั้นรูปแบบวัฏจักรในระบบมีจริงสำหรับ  $\varepsilon$  และ  $\delta$  ที่มีค่าน้อย ๆ

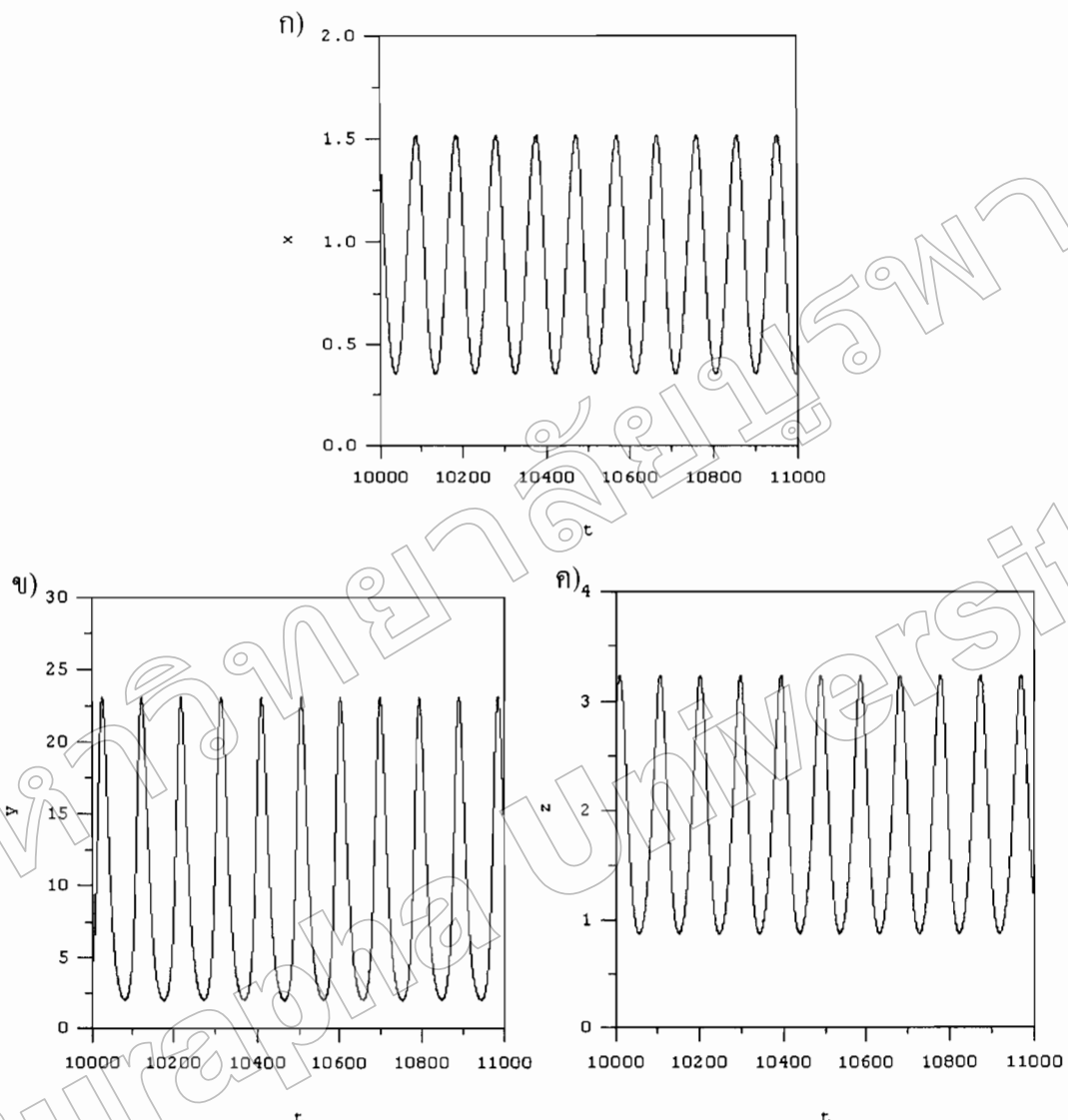


ภาพที่ 3 การแสดง manifold ทั้ง 3 คือ  $\{F=0\}$ ,  $\{G=0\}$  และ  $\{H=0\}$  ในระบบ xyz ระบบสมการ (21)-(23) มีผลเฉลยเป็นแบบวุฏจักร ส่วนของวิถีโครงการเส้นแทนโดยลูกศร 1 หัว 2 หัว และ 3 หัว ซึ่งแสดงถึงการเปลี่ยนแปลงในระดับที่ช้า เร็ว และปานกลาง ตามลำดับ

### การจำลองข้อมูลทางคณิตศาสตร์

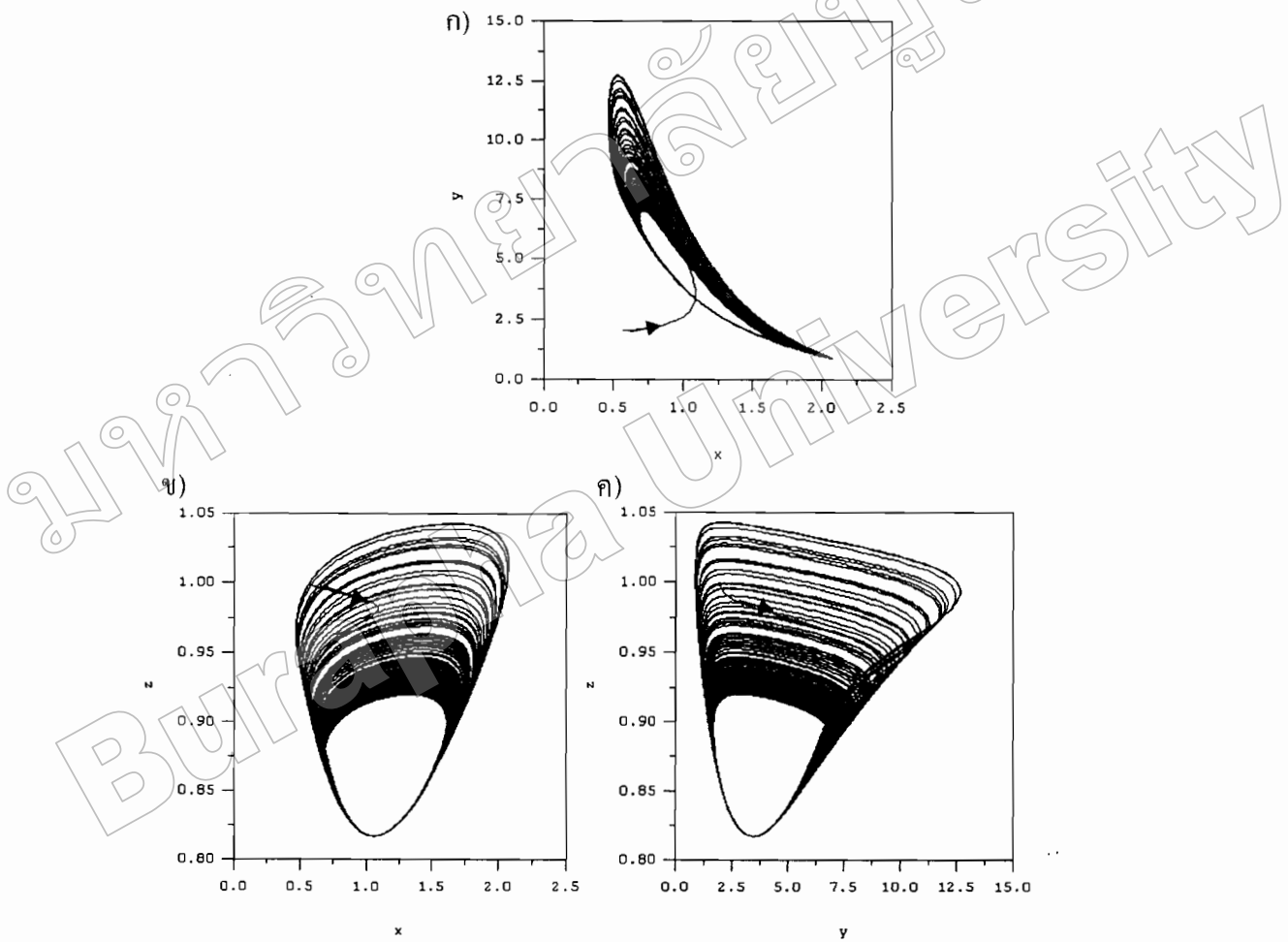


ภาพที่ 4 การจำลองทางคณิตศาสตร์ของสมการแบบจำลอง (21)-(23) เมื่อ  $\varepsilon = 0.45$ ,  $\delta = 0.9$   
 $a_1 = 0.65, a_2 = 0.35, a_3 = 0.52, a_4 = 0.1, a_5 = 0.8, d_1 = 0.1, d_2 = 0.25, d_3 = 0.3,$   
 $k_1 = 2, k_2 = 5, k_3 = 2, x(0) = 0.1, y(0) = 1, z(0) = 5$  ซึ่งแสดงเส้นโคจรผลเฉลย  
 เป็นวัฏจักร ก) ระนาบ xy ข) ระนาบ xz และ ค) ระนาบ yz

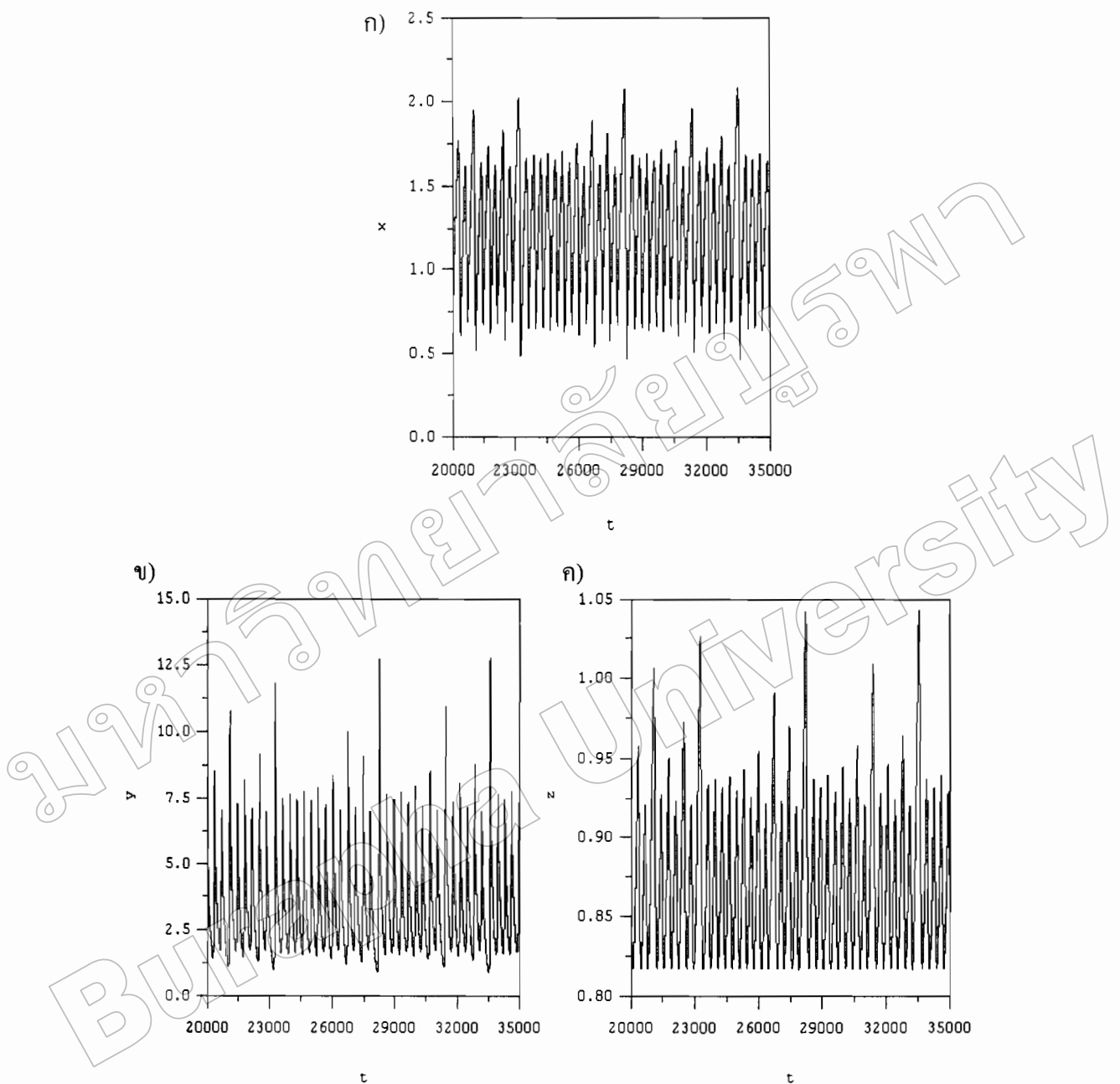


ภาพที่ 5 การแสดงอนุกรมเวลาของ ก) วิตามินดี ข) เชลล์สร้างกระดูก และ ค) เชลล์  
ถลายกระดูกของกรณีที่เป็นแบบวัยรุ่น ดังแสดงในภาพที่ 4

เราใช้ผลเฉลยเชิงตัวเลขเพื่อสำรวจพฤติกรรมแบบอ่อนของจำลองเชิงคณิตศาสตร์ของการสร้างและถ่ายกระดูกที่กระตุ้นโดยวิตามินคี ในสมการ (21) - (23) โดยการเลือกชุดของพารามิเตอร์ที่ได้รับการแนะนำจากระบบไม่เชิงเส้นซึ่งแสดงพฤติกรรมแบบรูปแบบวัฏจักรมาแล้ว คือชุดพารามิเตอร์ที่ใช้ในภาพที่ 4 เราจึงนำชุดพารามิเตอร์ที่แสดงพฤติกรรมแบบรูปแบบวัฏจักรนั้นมาปรับค่า ได้ผลเฉลยเชิงตัวเลขแสดงพฤติกรรมแบบอ่อน แสดงดังภาพที่ 6

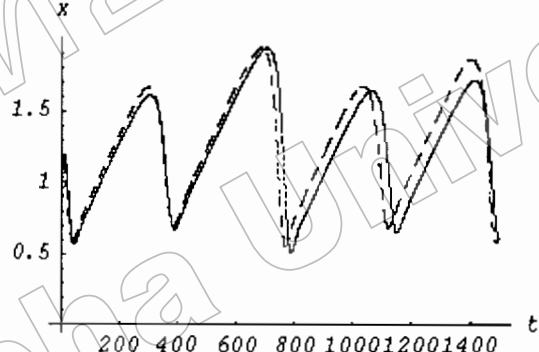


ภาพที่ 6 การจำลองทางคณิตศาสตร์ของสมการแบบจำลอง (21)-(23) เมื่อ  $\varepsilon = 0.99$ ,  $\delta = 0.02$ ,  $a_1 = 0.8732$ ,  $a_2 = 0.15$ ,  $a_3 = 0.9$ ,  $a_4 = 0.3$ ,  $a_5 = 0.71$ ,  $d_1 = 0.1462$ ,  $d_2 = 0.35$ ,  $d_3 = 0.7$ ,  $k_1 = 2$ ,  $k_2 = 1.5$ ,  $k_3 = 1.2$ ,  $x(0) = 5$ ,  $y(0) = 2$ ,  $z(0) = 1$  แสดงเส้นโคจรผลเฉลยเป็นอ่อนของวนบน ก) ระนาบ  $xy$  ข) ระนาบ  $xz$  และ ค) ระนาบ  $yz$



ภาพที่ 7 การแสดงอัตราการเปลี่ยนแปลงของ ก) วิตามินคี ข) เชลล์สร้างกระดูก และ ค) เชลล์  
สลายกระดูกของกรณีอ่อนตัว ดังแสดงในภาพที่ 6

ในภาพที่ 7ก) แสดงการเปลี่ยนแปลงระดับของวิตามินดีในเลือดเมื่อเทียบกับเวลา จะเห็นว่าความเข้มข้นของวิตามินดีในเลือดเปลี่ยนแปลงขึ้น ๆ ลง ๆ สลับกันไป อีกทั้งจาก การสังเกตพุติกรรมแบบอلوวน พบร้า เมื่อเราเปลี่ยนแปลงเงื่อนไขเริ่มต้นเพียงเล็กน้อยจะนำไปสู่ พุติกรรมที่แตกต่างไป เราแสดงพุติกรรมนี้โดยการเปรียบเทียบผลเฉลยเชิงตัวเลข แสดงได้ ดังภาพที่ 8 ซึ่งแสดงการเปลี่ยนแปลงระดับของวิตามินดีในเลือดเมื่อเทียบกับเวลาของระบบสมการ (21) - (23) ที่มีพุติกรรมแบบอلوวน เมื่อใช้พารามิเตอร์ดังภาพที่ 6 และเงื่อนไขเริ่มต้น  $x(0)$  ต่างกัน กันถาวรคือ เมื่อ  $x(0) = 0.1$  และ  $x(0) = 0.3$  โดย  $y(0)$  และ  $z(0)$  ไม่เปลี่ยนแปลง จะเห็นว่า ระดับของ วิตามินดีในเลือดมีการเปลี่ยนแปลงคล้ายกัน เมื่อใช้เงื่อนไขเริ่มต้นต่างกันสำหรับช่วงเวลาสั้น ๆ ดังนั้นการก่อการระดับความเข้มข้นของวิตามินดีในเลือดเล็กน้อยอาจนำไปสู่ผลลัพธ์ที่ไม่สามารถ ทำนายได้



ภาพที่ 8 การแสดงการเปลี่ยนแปลงความเข้มข้นของวิตามินดีในเลือดเมื่อเทียบกับเวลาของระบบ สมการ (21) - (23) ที่มีพุติกรรมแบบอلوวน เมื่อใช้พารามิเตอร์ดังภาพที่ 6 และเงื่อนไข เริ่มต้น  $x(0)$  ต่างกัน เมื่อ  $x(0) = 0.1$  แสดงโดย ----- และ  $x(0) = 0.3$  แสดงโดย  $y(0)$  และ  $z(0)$  ไม่เปลี่ยนแปลง